

## Formalismo a temperatura finita

A extensão dos resultados anteriores a sistemas a uma temperatura finita  $T$  e um potencial químico  $\mu$  é razoavelmente direta. Entretanto, termos que introduzir novos tipos de funções de Green.

Primeiramente, consideremos a função de Green a  $T \neq 0$  a tempo real (ordenada temporalmente):

$$iG_{\alpha\beta}(\vec{r}_1, t_1, \vec{r}_2, t_2) = \text{Tr} \left[ \frac{\hat{S}}{Z} T(\psi_\alpha(\vec{r}_1, t_1) \psi_\beta^+(\vec{r}_2, t_2)) \right]$$

onde :

$$\hat{S} = \frac{e^{-\beta(\hat{H}-\mu\hat{N})}}{Z} \quad \beta = \frac{1}{T} \quad (k_B = 1)$$

$$Z = \text{Tr} [e^{-\beta(\hat{H}-\mu\hat{N})}] = \text{função de grande-partição}$$

Essa é a generalização natural de  $G_{\alpha\beta}(x, x_2)$  a  $T=0$  para um sistema a  $T \neq 0$  e  $\mu$  especificado.

Usa-se nesse caso o traco do produto do operador  $\hat{S}$  e o operador  $\hat{S}$  acima da distribuição do ensaio grand-canônico no lugar da média no estado fundamental.

Essa função de Green tem as propriedades desejadas para a análise das características físicas dos sistemas a serem estudados mas não é apropriada ao uso da teoria de perturbação. Para isso introduzimos um novo tipo de função de Green que pode ser calculada perturbativamente por métodos completamente análogos aos estudados anteriormente.

Seja a função de Green de TEMPO IMAGINÁRIO (ou de Matsubara em térmica) definida como:

$$G_{\alpha\beta}(\bar{n}, \tau_1, \bar{n}_2 \tau_2) = -i \text{Tr} \left[ \frac{\hat{S}}{Z} T_2 (\psi_{\alpha H}(\bar{n}, \tau_1) \psi_{\beta H}^+(\bar{n}_2 \tau_2)) \right]$$

onde :

$$\psi_{\alpha H}(\bar{n}, \tau_1) \equiv e^{+i\tau_1(\hat{H}-\mu\hat{n})} \psi_\alpha(\bar{n}_1) e^{-i\tau_1(\hat{H}-\mu\hat{n})}$$

$$\psi_{\alpha H}^+(\bar{n}, \tau_1) \equiv e^{+i\tau_1(\hat{H}-\mu\hat{n})} \psi_\alpha^+(\bar{n}_1) e^{-i\tau_1(\hat{H}-\mu\hat{n})}$$

e  $T_2$  ordena temporalmente como antes, mas agora segundo o "tempo imaginário"  $\tau$ .

A razão para o termo "tempo imaginário" é evidente. Os operadores com sub-índice  $H$  (operadores de Matsubara) são obtidos dos operadores de Heisenberg através da substituição:

$$t \rightarrow -i\tau$$

**ATENÇÃO:**  $\psi_{\alpha H}^+$  NÃO É O ADJUNTO DE  $\psi_{\alpha H}$  (veja acima)

Além das duas funções de Green definidas acima, podemos definir as funções retardada e avançada:

$$iG_{\alpha\beta}^R(x, x_2) = \Theta(t_1 - t_2) \text{Tr} \left[ \frac{\hat{S}}{Z} [\psi_{\alpha H}(x_1), \psi_{\beta H}^+(x_2)]_3 \right]$$

$$iG_{\alpha\beta}^A(x, x_2) = -\Theta(t_2 - t_1) \text{Tr} \left[ \frac{\hat{S}}{Z} [\psi_{\alpha H}(x_1), \psi_{\beta H}^+(x_2)]_3 \right]$$

n.o 77. Assim, a anti-simetria ( $\tau = -1$ ) para fermio

Uma análise da representação de Lehmann completamente análoga à apresentada anteriormente nos dá que (ver Fetter e Waleckha pp. 292-298):

$$S(\vec{k}, \omega) = \frac{1}{2} \sum_{mn} \left\{ e^{-\beta K_m} (2\pi)^3 \delta[\vec{k} - (\vec{P}_m - \vec{P}_n)] 2\pi \delta[\omega - (K_n - K_m)] \right. \\ \left. (1 - \beta e^{-\beta\omega}) |\langle m | \psi_\alpha | n \rangle|^2 \right\}$$

onde  $K_m = E_m - \mu N_m$

$$G^R = \int_{-\infty}^{+\infty} \frac{d\omega'}{2\pi} \frac{S(\vec{k}, \omega')}{\omega - \omega' + i\eta}$$

$$G^A = \int_{-\infty}^{+\infty} \frac{d\omega'}{2\pi} \frac{S(\vec{k}, \omega')}{\omega - \omega' - i\eta}$$

$$G = [1 + \beta f_s(\omega)] G^R - \beta f_s(\omega) G^A$$

onde  $f_s(\omega) = \frac{1}{e^{\beta\omega} - \beta}$

Só que que:

$$\operatorname{Re} G(\vec{k}, \omega) = \operatorname{Re} G^R(\vec{k}, \omega) = \operatorname{Re} G^A(\vec{k}, \omega)$$

$$\operatorname{Im} G(\vec{k}, \omega) = \operatorname{Im} G^R [1 + 2\beta f_s(\omega)] = \operatorname{Im} G^R \left[ \coth\left(\frac{\beta\omega}{2}\right) \right]^2$$

$$= -\frac{1}{2} S(\vec{k}, \omega) \left[ \coth\left(\frac{\beta\omega}{2}\right) \right]^2$$

$$G(\vec{k}, \omega) = \int_{-\infty}^{+\infty} \frac{d\omega'}{2\pi} S(\vec{k}, \omega') \left[ \frac{1 + \beta f_s(\omega')}{\omega - \omega' + i\eta} - \frac{\beta f_s(\omega')}{\omega - \omega' - i\eta} \right]$$

$$- \int_{-\infty}^{+\infty} d\omega' S(\vec{k}, \omega') \Gamma[-\beta f_s(-\omega')] \tau f_s(\omega') \quad \square$$

A função de Green de tempo imaginário tem as seguintes propriedades gerais.

$$(i) G(\bar{\tau}_1, \tau_1; \bar{\tau}_2, \tau_2) = G(\bar{\tau}_1, \bar{\tau}_2; \tau_1, -\tau_2)$$

Suponha que  $\tau_1 > \tau_2$  e  $\tau = \tau_1 - \tau_2$

$$\begin{aligned} -G &= \text{Tr} \left[ \frac{\hat{\delta}}{z} \psi_m(1) \psi_m^+(2) \right] = \text{Tr} \left[ \frac{e^{-\beta \hat{K}}}{z} e^{\tau_1 \hat{K}} \psi(1) e^{-\tau_2 \hat{K}} e^{\tau_2 \hat{K}} \psi^+(2) e^{-\tau_2 \hat{K}} \right] \\ &= \text{Tr} \left[ \frac{e^{-\beta \hat{K}}}{z} e^{(\tau_1 - \tau_2) \hat{K}} \psi(1) e^{-(\tau_1 - \tau_2) \hat{K}} \psi^+(2) \right] \end{aligned}$$

onde usamos a propriedade cíclica do traco.

(ii) A função  $G$  tem período  $\beta$  em cada uma de suas variáveis temporais (a menos de um sinal no caso de fermions):

Da expressão acima ( $z = \tau_1 - \tau_2 > 0$ )

$$\begin{aligned} -G(z) &= \text{Tr} \left[ \frac{e^{-\beta \hat{K}}}{z} e^{\tau \hat{K}} \psi(1) e^{-\tau \hat{K}} \psi^+(2) \right] = \\ &= \text{Tr} \left[ \frac{\bar{e}^{-z \hat{K}}}{z} \psi^+(2) e^{(z-\beta) \hat{K}} \psi(1) \right] \end{aligned}$$

Entretanto, para  $z < 0$  ( $z = \tau_1 - \tau_2$ )

$$\begin{aligned} -G(z) &= \Im \text{Tr} \left[ \frac{e^{-\beta \hat{K}}}{z} \psi_m^+(2) \psi_m(1) \right] = \\ &= \Im \text{Tr} \left[ \frac{\bar{e}^{-\beta \hat{K}}}{z} \bar{e}^{-z \hat{K}} \psi^+(2) e^{z \hat{K}} \psi(1) \right] \end{aligned}$$

Portanto, se  $z \in [-\beta, \beta]$

$$z < 0 \Rightarrow z + \beta > 0$$

$$\Rightarrow \boxed{G(z+\beta) = \Im G(z)} \quad z < 0$$

Podemos, portanto, expandir  $G(z)$  no intervalo  $[-\beta, \beta]$  em uma série de Fourier

$$G(\vec{k}z) = T \sum_{m=-\infty}^{+\infty} e^{-i\omega_m z} g(\vec{k}, \omega_m)$$

onde a expansão em  $\vec{k}$  é igual à feita anteriormente e não será explicitada e

$$\omega_m = \frac{2\pi}{2\beta} m \quad m = 0, \pm 1, \pm 2, \dots$$

$$\omega_m = \pi T m$$

Obrigatoriamente:

$$g(\vec{k}, \omega_m) = \int_{-\beta}^{\beta} \frac{dz}{2} g(\vec{k}, z) e^{i\omega_m z}$$

que pode ser verificada explicitamente. Afinal disso:

$$g(\vec{k}, \omega_m) = \int_0^{\beta} \frac{dz}{2} g(\vec{k}, z) e^{i\omega_m z} + \int_{-\beta}^0 \frac{dz}{2} g(\vec{k}, z) e^{i\omega_m z}$$

$$= \int_0^{\beta} \frac{dz}{2} g(\vec{k}, z) e^{i\omega_m z} + \int_{-\beta}^0 \frac{dz}{2} g(\vec{k}, z+\beta) e^{i\omega_m z}$$

$$= \int dz g(\vec{k}, z) e^{i\omega_m z} [1 + \Im e^{-i\omega_m \beta}]$$

Caso  $\omega_n \beta = \pi n$ :

$$\frac{1}{2} [1 + \beta e^{-i\omega_n \beta}] = \frac{1}{2} [1 + \beta (-)^n] = \begin{cases} 1 & \text{se } n \text{ par} \\ 0 & \text{se } n \text{ ímpar} \end{cases} \quad \beta = 1$$

$$\begin{cases} 0 & \text{se } n \text{ par} \\ 1 & \text{se } n \text{ ímpar} \end{cases} \quad \beta = -1$$

Portanto, para bósons só as frequências pares aparecem:

$$\omega_n = 2n\pi T \rightarrow \text{BÓSONS}$$

e para fermions os ímpares

$$\omega_n = (2n+1)\pi T \rightarrow \text{FÉRMIONS}$$

Em qualquer caso:

$$G(\vec{k}, \omega_n) = \int_0^{\beta} dz e^{i\omega_n z} G(\vec{k}, z)$$

Podemos agora deduzir a representação de Lehmann para a função de Green de tempo imaginário:

$$G(\vec{k}, \omega_n) = \int_{-\infty}^{+\infty} \frac{d\omega'}{2\pi} \frac{S(\vec{k}, \omega')}{i\omega_n - \omega'}$$

Comparando-se essa expressão com as expressões correspondentes para  $G^<$  e  $G^>$ , vemos que as três funções correspondem a diferentes limites da mesma função da variável complexa  $z$

Como mostraremos a seguir,  $G(\vec{k}, \omega_n)$  pode ser calculada perturbativamente. Uma vez calculada, nos pontos discretos:

$$\omega_n = \begin{cases} 2\pi n T & \text{BOSONS} \\ (2n+1)\pi T & \text{FERMIONS} \end{cases}$$

ela pode ser continuada analiticamente para se obter  $G^L$  e  $G^A$  e, consequentemente,  $G$ . Esse procedimento não é único, a princípio. Entretanto, a condição adicional no infinito:

$$\Gamma(\vec{k}, z) \xrightarrow[z \rightarrow \infty]{} \frac{1}{z}$$

que segue de  $\int \frac{d\omega}{2\pi} \delta(\vec{k}, \omega) = 1$ , garante a unicidade do procedimento.

A estratégia então está bem definida:

- (a) Calcula-se  $G(\vec{k}, \omega_n)$  por iteração de perturbações
- (b) Continua-se analiticamente  $G(\vec{k}, \omega_n)$  para  $G^L(\vec{k}, \omega)$  ou  $G^A(\vec{k}, \omega)$
- (c) Acha-se  $G G(\vec{k}, \omega)$  a partir de  $G^L(\vec{k}, \omega)$  ou  $G^A(\vec{k}, \omega)$

Vamos calcular agora  $G(\vec{k}, \omega_n)$  para o sistema não-interagente de fermions ou bôsons. Da definição, para  $\epsilon > 0$ :

$$\begin{aligned} G(\vec{k}, \tau) &= \text{Tr} \left[ \frac{\hat{S}}{z} C_{\vec{k}}(\tau) C_{\vec{k}}^+(\omega) \right] \\ &= \text{Tr} \left[ \frac{e^{-\beta \hat{K}}}{z} e^{\tau \hat{K}} C_{\vec{k}} e^{-\tau \hat{K}} C_{\vec{k}}^+ \right] \end{aligned}$$

$\hat{K} = \hat{H} - \mu \hat{n} = \sum_{\vec{k}} (\epsilon_{\vec{k}} - \mu) C_{\vec{k}}^+ C_{\vec{k}}$ . Como antes, segue que:

$$e^{\tau \hat{K}} C_{\vec{k}}^+ e^{-\tau \hat{K}} = e^{-\xi_{\vec{k}} \tau} C_{\vec{k}} \quad \text{onde } \xi_{\vec{k}} = \epsilon_{\vec{k}} - \mu$$

$$\begin{aligned} \Rightarrow G(\vec{k}, \tau) &= -e^{-\xi_{\vec{k}} \tau} \text{Tr} \left[ \frac{e^{-\beta \hat{K}}}{z} C_{\vec{k}} C_{\vec{k}}^+ \right] \\ &= -e^{-\xi_{\vec{k}} \tau} \left[ 1 + \Im \langle C_{\vec{k}}^+ C_{\vec{k}} \rangle \right] \end{aligned}$$

Sabemos que  $\langle C_{\vec{k}}^+ C_{\vec{k}} \rangle = \langle n_{\vec{k}} \rangle = f_j(\xi_{\vec{k}}) = \frac{1}{e^{\beta \xi_{\vec{k}}} - 1}$  que é a distribuição de Fermi-Dirac. Portanto:

$$\begin{aligned} G(\vec{k}, \omega_n) &= \int_0^B d\tau e^{i\omega_n \tau} G(\vec{k}, \tau) = - \left[ 1 + \Im f_j(\xi_{\vec{k}}) \right] \int_0^B d\tau e^{(i\omega_n - \xi_{\vec{k}})\tau} \\ &= +\Im f_j(-\xi_{\vec{k}}) \frac{1}{i\omega_n - \xi_{\vec{k}}} \left[ e^{(i\omega_n - \xi_{\vec{k}})B} - 1 \right] \end{aligned}$$

Mas  $\omega_n \beta = (2n+1)\pi$  (fermões) ou  $(2n)\pi$  (bôsons)

$$\Rightarrow G(\vec{k}, \omega_n) = \frac{1}{i\omega_n - \beta_k} = \frac{1}{i\omega_n - \epsilon_k + i\delta}$$

tanto para fermions quanto para bosons.

Note que, da representação de Lehmann obtemos, para  $T \neq 0$ :

$$G^R(\vec{k}, \omega) = \frac{1}{\omega - \beta_k + i\delta} ; \quad G^A(\vec{k}, \omega) = \frac{1}{\omega - \beta_k - i\delta}$$

$$G(\vec{k}, \omega) = (-i) \left\{ \frac{f_S(-\omega)}{\omega - \beta_k + i\delta} + \frac{f_S(\omega)}{\omega - \beta_k - i\delta} \right\}$$

Para o cálculo perturbativo de  $G(\vec{k}, \omega_n)$  usamos procedimento análogo ao caso  $T=0$ .

A primeira observação é que:

$$\frac{\partial \hat{g}}{\partial \beta} = \frac{\partial (e^{-\beta \hat{K}})}{\partial \beta} = -\hat{K} \hat{g}$$

que é análoga à equação de Schrödinger se fizermos as seguintes correspondências:

$$\left. \begin{array}{l} -it \rightarrow \beta \\ \hat{H} \rightarrow \hat{K} = \hat{H}_0 - \mu \hat{N} \\ \hat{\Psi} \rightarrow \hat{g} = e^{-\beta \hat{K}} \end{array} \right\} \Rightarrow i\partial_t \hat{\Psi} = \hat{H} \hat{\Psi}$$

Os passos são então os seguintes:

(i) Definimos a representação de interacção:

$$\hat{O}_I(\tau) = e^{i\hat{K}_0 \tau} \hat{O}_S e^{-i\hat{K}_0 \tau}$$

$$\text{onde } \hat{K}_0 = \hat{H}_0 - \mu \hat{N} \text{ e } \hat{K}_1 = \hat{H}_1$$

$$\text{Como } \hat{O}_M(\tau) = e^{i\hat{K}_1 \tau} \hat{O}_S e^{-i\hat{K}_1 \tau} :$$

$$\hat{O}_M(\tau) = e^{i\hat{K}_1 \tau} e^{-i\hat{K}_0 \tau} \hat{O}_I(\tau) e^{i\hat{K}_0 \tau} e^{-i\hat{K}_1 \tau}$$

que relaciona a RI às operadoras de Matsubara

(ii) Como antes, definimos:

$$\tilde{U}(\tau, \tau_0) = e^{i\hat{K}_0 \tau} e^{-i\hat{K}(\tau-\tau_0)} e^{-i\hat{K}_0 \tau_0}$$

que não é unitário [ $\tilde{U}^\dagger \neq \tilde{U}^{-1}$ ] mas satisfaz a propriedade de unidade.

$$\tilde{U}(\tau_1, \tau_2) \tilde{U}(\tau_2, \tau_3) = \tilde{U}(\tau_1, \tau_3),$$

a condicão inicial

$$\tilde{U}(\tau_0, \tau_0) = 1$$

e a equação diferencial

$$\begin{aligned}\partial_{\tau} \tilde{U}(\tau, \tau_0) &= e^{\hat{k}_0 \tau} (\hat{k}_0 - \hat{k}) e^{-\hat{k}(\tau-\tau_0)} e^{-\hat{k}_0 \tau} \\ &= - \left( e^{\hat{k}_0 \tau} \hat{k}, e^{-\hat{k}_0 \tau} \right) \tilde{U}(\tau, \tau_0) \\ &= - \hat{k}_I(\tau) \tilde{U}(\tau, \tau_0)\end{aligned}$$

onde omitimos o sub-índice "I" em  $\hat{k}_I(\tau)$ , como antes.

Segue imediatamente que:

$$\tilde{U}(\tau, \tau_0) = \sum_{n=0}^{\infty} \frac{(-)^n}{n!} \int_{\tau_0}^{\tau} d\tau_1 \dots d\tau_n T_n [\hat{k}_1(\tau_1) \dots \hat{k}_n(\tau_n)]$$

(iii) De:

$$e^{-\hat{k}\tau} = e^{-\hat{k}_0 \tau} \tilde{U}(\tau, 0)$$

segue que:

$$e^{\hat{k}\hat{\tau}} = e^{-\beta \hat{k}_0} \tilde{U}(\beta, 0)$$

e:

$$z = T_n(e^{-\beta \hat{k}}) = T_n[e^{-\beta \hat{k}_0} \tilde{U}(\beta, 0)]$$

$$e : (\tau_1 > \tau_2)$$

$$\begin{aligned}
-g(x, x_2) &= \frac{1}{Z} \text{Tr} \left[ e^{-\beta \hat{K}} \psi_m(\bar{n}, \tau_1) \psi_m^+(\bar{n}_2, \tau_2) \right] \\
&= \frac{1}{Z} \text{Tr} \left[ e^{-\beta \hat{K}} e^{\hat{K}\tau_1 - \hat{K}_0 \tau_1} \psi_I(\bar{n}_1) e^{\hat{K}_0 \tau_1 - \hat{K}\tau_1} e^{\hat{K}\tau_2 - \hat{K}_0 \tau_2} e^{\hat{K}_0 \tau_2 - \hat{K}\tau_2} \psi_I^+(\bar{n}_2, \tau_2) \right. \\
&\quad \left. e^{\hat{K}_0 \tau_2} e^{-\hat{K}\tau_2} \right] \\
&= \frac{1}{Z} \text{Tr} \left[ e^{-\beta \hat{K}} \tilde{U}(0, \tau_1) \Psi_I(\bar{n}, \tau_1) \tilde{U}(\tau_1, 0) \tilde{U}(0, \tau_2) \Psi_I^+(\bar{n}_2, \tau_2) \tilde{U}(\tau_2, 0) \right] \\
&= \frac{\text{Tr} \left[ e^{-\beta \hat{K}_0} \tilde{U}(\beta, 0) \tilde{U}(0, \tau_1) \psi_I(x_1) \tilde{U}(\tau_1, \tau_2) \psi_I^+(x_2) \tilde{U}(\tau_2, 0) \right]}{\text{Tr} \left[ e^{-\beta \hat{K}_0} \tilde{U}(\beta, 0) \right]} \\
&= \frac{\text{Tr} \left[ e^{-\beta \hat{K}_0} \text{Tr}_{\tau} \left[ \tilde{U}(\beta, 0) \Psi_I(x_1) \psi_I^+(x_2) \right] \right]}{\text{Tr} \left[ e^{-\beta \hat{K}_0} \tilde{U}(\beta, 0) \right]}
\end{aligned}$$

e analogamente para  $\tau_1 < \tau_2$ :

$$\boxed{-g(x, x_2) = \frac{\text{Tr} \left[ e^{-\beta \hat{K}_0} \text{Tr}_{\tau} \left[ \tilde{U}(\beta, 0) \psi_I(x_1) \psi_I^+(x_2) \right] \right]}{\text{Tr} \left[ e^{-\beta \hat{K}_0} \tilde{U}(\beta, 0) \right]}}$$

(i.o) Finalmente, da expansão de  $\tilde{U}(\beta, 0)$ :

$$\begin{aligned}
-g(x, x_2) &= \text{Tr} \left\{ e^{-\beta \hat{K}_0} \sum_{m=0}^{\infty} \frac{(-)^m}{m!} \int_0^{\beta} d\tau_1 \dots d\tau_m \text{Tr}_{\tau} \left[ \hat{K}_1(\tau_1) \dots \hat{K}_m(\tau_m) \psi_I(x_1) \psi_I^+(x_2) \right] \right\} \\
&\quad \text{Tr} \left\{ e^{-\beta \hat{K}_0} \sum_{m=0}^{\infty} \frac{(-)^m}{m!} \int_0^{\beta} d\tau_1 \dots d\tau_m \text{Tr}_{\tau} \left[ \hat{K}_1(\tau_1) \dots \hat{K}_m(\tau_m) \right] \right\}
\end{aligned}$$

## (v) Teorema de Wick:

O teorema de Wick é válido também para os produtos ordenados temporalmente de operadores na RI quando se toma o Traco com  $e^{-\beta \hat{E}_0}$ . Note porém que as contrações agora são também tracos com  $e^{-\beta \hat{E}_0}$  de produtos ordenados temporalmente de ~~produtos~~  
dos operadores de criação e aniquilação (um de cada). Ou seja, funções de Green térmicas não interagentes.

Vale também a regra do sinal de cada termo como antes. A prova é bem simples (ver Fetter + Waleckas, pp. 237-241).

(vi) De exposto acima, é evidente que a teoria de perturbação (diagramas de Feynman) para  $G(x, x_2)$  é completamente análoga à sua contrapartida a  $T=0$ .

Em particular, o denominador  $Z = \text{Tr} [e^{-\beta \hat{E}_0} \tilde{U}(\beta, 0)]$  cancela exatamente os diagramas não conectados do numerador e só é necessário considerar diagramas conectados.

Definindo, como antes, para um sistema com interação de pares:

$$U(\bar{x}_1 - \bar{x}_2, \bar{\tau}_1 - \bar{\tau}_2) = V(\bar{x}_1 - \bar{x}_2) \delta(\bar{\tau}_1 - \bar{\tau}_2)$$

as regras para os diagramas de Feynman a  $T \neq 0$  são as mesmas que a  $T=0$  com pequenas modificações óbvias:

Regras para os diagramas de Feynman a  $T \neq 0$ :

(a) Desenhe todos os diagramas conectados topologicamente distintos a uma dada ordem n

(b) Associe:

$$-G^{(0)}(x_1, x_2) \rightsquigarrow \begin{array}{c} 1 \\ \downarrow \\ 2 \end{array}$$

$$-U(x_1 - x_2) \rightsquigarrow \begin{array}{c} \text{---} \\ | \\ 1 \quad 2 \end{array}$$

(c) Integre sobre as variáveis internas  $\bar{x}_i c_i$ :

$$\int d^3 x_i \int_0^\beta d c_i$$

(d) Conserves spin nos vértices de n e pone sobre os índices internos

(e) Multiplique por  $(-)^F$  onde  $F = \text{número de circuitos fechados fermionicos}$

(f) Para variáveis temporais idênticas em uma mesma  $G^0$  faça:

$$G^{(0)}(\bar{r}_1, \bar{c}_1, \bar{r}_2, \bar{c}_1) = \lim_{\bar{c}'_1 \rightarrow \bar{c}_1^+} G(\bar{r}_1, \bar{c}_1, \bar{r}_2, \bar{c}'_1)$$

$$= -\Im \langle \psi^+(\bar{r}_2) \psi(\bar{r}_1) \rangle_0$$

As regras no espaço recíproco são também bastante semelhantes, exceto que os integrais sobre freqüências se tornam agora somas sobre freqüências de Matsubara. As freqüências das linhas de interacção são pares ("boxónicas") porque:

$$\delta(\tau) = T \sum_{\vec{k}, \text{par}} e^{-i\omega_n \tau}$$

(1) Desenhe todos os diagramas conectados topologicamente distintos a uma dada ordem  $n$

(2) Associe:

$$-G(\vec{k}, \omega_n) \sim \boxed{\omega_n, \vec{k}} \quad (\omega_n = \text{par pl. bósons})$$

$\omega_n = \text{ímpar pl. fermões}$

$$-V(\vec{k}, \omega_n) = V(\vec{k}) \sim \underset{\vec{k}, \omega_n}{\text{modo}}$$

e conserve momento e freqüência em cada vértice

(3) Some sobre os momentos e freqüências internos:

$$\int \frac{d^3 k}{(2\pi)^3} T \sum_n$$

(4) Consserve spin nos vértices de  $n$  e some sobre os índices internos

(5) Multiplique por  $(-)^F$  onde  $F$  é como acima

(6) Insira  $e^{i\omega_n \tau}$  para cada  $G$  aos extremos correndo para dentro a uma mesma variável temporal.

Como exemplo, consideremos os termos de 1<sup>o</sup> ordem. Definindo a auto-energia como antes:

$$-\Sigma(\omega_m \vec{k}) = \text{○}$$

$$-\tilde{\Sigma}(\omega_m, \vec{k}) = \text{○}^*$$

tal que:

$$\begin{aligned} G(\omega_m, \vec{k}) &= G^{(0)}(\omega_m, \vec{k}) + G^{(0)}(\omega_m, \vec{k}) \tilde{\Sigma}(\omega_m, \vec{k}) G^{(0)}(\omega_m, \vec{k}) \\ &= G^{(0)}(\omega_m, \vec{k}) + G^{(0)}(\omega_m, \vec{k}) \Sigma(\omega_m, \vec{k}) G(\omega_m, \vec{k}) \end{aligned}$$

$$\Rightarrow G(\omega_m, \vec{k}) = \frac{1}{[G^{(0)}(\omega_m, \vec{k})]^{-1} - \Sigma(\omega_m, \vec{k})}$$

tomos que:

$$-\Sigma^{(1)}(\omega_m, \vec{k}) = \sum_{\vec{q}} \left[ \text{---} \atop \text{---} \right]_{\vec{k}-\vec{q}}^{\omega_m - v_m} + \text{---}_{\vec{0}, 0}^{\omega_m} \text{○}^*_{v_m, \vec{q}}$$

$$\Rightarrow \Sigma^{(1)}(\omega_m, \vec{k}) = -T \sum_{v_m} \int \frac{d^3 q}{(2\pi)^3} e^{iv_m n} G^{(0)}(v_m, \vec{q}) [V(\vec{k} - \vec{q}) + \Im V(0)(2s+1)]$$

onde  $(2s+1)$  corresponde à soma sobre os índices internos de spin e  $v_m$  é par (bôsons) ou ímpar (fôneons).

Aqui aparece pela 1<sup>o</sup> vez uma típica soma sobre frequências de Matsubara:

$$T \sum_v \frac{e^{iv_m n}}{iv_m - \epsilon_{\vec{q}}} = H(\epsilon_{\vec{q}})$$

Vamos examinar a técnica de se avaliam essas somas:

$$H(x) = T \sum_{v_n} \frac{e^{iv_n x}}{iv_n - x}$$

onde a soma é sobre  $v_n = \begin{cases} 2n\pi & (\text{Bósons}) \\ (2n+1)\pi & (\text{Fermions}) \end{cases}$

Para isso, considere as funções:

$$\frac{\beta}{e^{\beta z} - \beta} = \begin{cases} \frac{\beta}{e^{\beta z} - 1} & (\text{Bósons}) \\ \frac{-\beta}{e^{\beta z} + 1} & (\text{Fermions}) \end{cases}$$

Essa função tem pôlos simples em:

$$\beta z = \begin{cases} 2n\pi i & (\text{Bósons}) \\ (2n+1)\pi i & (\text{Fermions}) \end{cases} = \beta \omega_{ni}$$

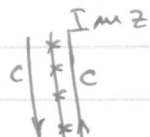
com resíduo:

$$\underset{z=\omega_{ni}}{\cancel{\frac{1}{\partial z}}} \left. \frac{\beta}{e^{\beta z} - \beta} \right|_{z=\omega_{ni}} = \left. \frac{\beta}{\beta e^{\beta z}} \right|_{z=\omega_{ni}} = \frac{\beta}{\beta \beta} = 1$$

Portanto, podemos escrever:

$$H(x) = T \int_C \frac{dz}{2\pi i} \frac{\beta}{e^{\beta z} - \beta} \frac{e^{izx}}{z - x}$$

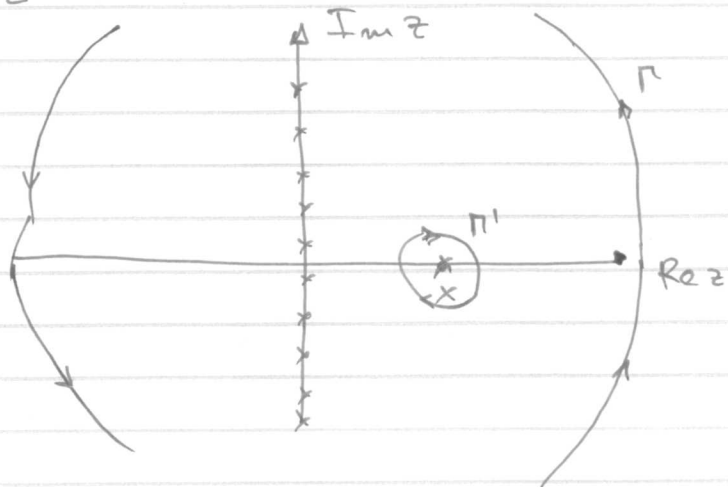
onde  $C$  é um circuito em torno dos pôlos no eixo imaginário



Poderemos agora distorcer  $C$  de modo a que o novo contorno seja um círculo  $\Gamma$  no infinito e um pequeno círculo  $\Gamma'$  em torno do polo de

$$\frac{e^{nz}}{z-x}$$

em  $z=x$



No círculo  $\Gamma$ , quando  $\begin{cases} \operatorname{Re} z > 0 \\ |z| \rightarrow \infty \end{cases}$ , o integrando decai

como:

$$\frac{e^{(n-\beta)z}}{z} \xrightarrow[\substack{|z| \rightarrow \infty \\ \operatorname{Re} z > 0}]{} 0$$

Quando  $\operatorname{Re} z < 0$ , o integrando decai também, desta vez como:

$$\frac{e^{n\operatorname{Re} z}}{z} \xrightarrow[\substack{|z| \rightarrow \infty \\ \operatorname{Re} z < 0}]{} 0$$

Em ambos os casos o integrando decai exponencialmente, o que é suficiente para que a contribuição de  $\Gamma$  seja nula. Note a importância do termo  $e^{nz}$  para o resultado acima.

A contribuição de  $\Gamma'$  é:

$$H(x) = -\beta \frac{e^{\eta x}}{e^{\beta x} + \beta} \xrightarrow{\eta \rightarrow 0^+} \frac{-\beta}{e^{\beta x} + \beta} = \begin{cases} -\frac{1}{e^{\beta x} - 1} = -b(x) \\ \frac{1}{e^{\beta x} + 1} = f(x) \end{cases}$$

onde  $b(x)$  e  $f(x)$  são as funções de distribuição de Bose-Einstein e Fermi-Dirac.

Portanto:

$$\sum^{(4)}(w_n, \vec{k}) = \int \frac{d^3q}{(2\pi)^3} \frac{\beta}{e^{\beta(\epsilon_q - \mu)} - 1} [V(\vec{k} - \vec{q}) + \beta V(\vec{q})(2s+1)]$$

onde  $\epsilon_q = \frac{q^2}{2m} - \mu$ . Importante:  $\sum \frac{1}{q} \frac{1}{e^{\beta(\epsilon_q - \mu)} - 1} \neq N$

pois o valor de  $\mu \neq \mu_0$  que corresponde a  $N$ .

Para completar, afirmamos que várias propriedades físicas do sistema podem ser diretamente obtidas de  $\hat{J}$ . Em particular, qualquer valor esperado de um operador de 1 corpo:

$$\langle \hat{J} \rangle = \text{Tr} \left[ \frac{\hat{S}}{z} \hat{J} \right] = -\beta \int d^3x \lim_{\vec{x}' \rightarrow \vec{x}} \lim_{z' \rightarrow z^+} \text{Tr} [\hat{J}(x) G(\vec{x}c, \vec{x}'c')]$$

Por exemplo:

$$\langle \hat{N} \rangle = N = -\beta \int d^3x \text{Tr} G(\vec{x}c, \vec{x}c^+) = N(T, \nu, \mu)$$

$$\langle \hat{T} \rangle = -\beta \int d^3x \lim_{\vec{x}' \rightarrow \vec{x}} \left( -\frac{\nabla^2}{2m} \right) \text{Tr} G(\vec{x}c, \vec{x}'c^+)$$

Além disso, se a interação é entre pares:

$$\langle \hat{T} + \hat{V} \rangle = E(T, \mu, \nu) = -\frac{\beta}{2} \int d^3x \lim_{\vec{x}' \rightarrow \vec{x}} \lim_{c' \rightarrow c^+} \left[ -\partial_c - \frac{\nabla^2}{2m} + \mu \right] \times$$

$$\times \text{Tr} G(\vec{x}c, \vec{x}'c')$$

$$E \propto Z = e^{-\beta \Sigma_0} \quad \text{e} \quad Z_0 = \text{Tr} e^{-\beta \Sigma_0} = e^{-\beta \Sigma_0}$$

$$\Sigma(T, \nu, \mu) = \Sigma_0(T, \nu, \mu) - \beta \int \frac{d\lambda}{\lambda} \int d^3x \lim_{\substack{\vec{x}' \rightarrow \vec{x} \\ c' \rightarrow c^+}} \frac{1}{2} \left[ -\partial_c - \frac{\nabla^2}{2m} + \mu \right] \text{Tr} G^2(\vec{x}c, \vec{x}'c')$$

Onde  $G^2(\vec{x}c, \vec{x}'c')$  é calculada com  $\hat{K} = \hat{H} - \mu \hat{N} = \hat{H}_0 - \mu \hat{N} + \lambda \hat{H}$ ,

## Resposta linear a $T \neq 0$

A teoria de resposta linear a temperatura finita também é bastante análoga à sua contrapartida a  $T=0$ . Como vimos anteriormente a correção em primeira ordem devido aos termos perturbador externo de quaisquer elementos de matriz de um operador  $\hat{B}$  é dada por:

$$\delta \langle \bar{\Psi}_s'(t) | \hat{B} | \bar{\Psi}_s(t) \rangle = i \int_{t_0}^t dt' \langle \bar{\Psi}_{\text{H}}' | [H_{\text{ext},\text{H}}(t'), \hat{B}_{\text{H}}(t)] | \bar{\Psi}_{\text{H}} \rangle$$

Onde supusemos que a perturbação externa começa a agir em  $t=t_0$  e os sufixos H devolvem a RH. Em particular, os elementos diagonais (valores esperados) em estados quaisquer  $|jN\rangle$  são: ( $N = \text{número de partículas do estado}$ )

$$\delta \langle jN | \hat{B} | jN \rangle = i \int_{t_0}^t dt' \langle jN | [H_{\text{ext},\text{H}}(t'), \hat{B}_{\text{H}}(t)] | jN \rangle$$

Tomando agora o traco dos valores esperados acima com o peso estatístico de Gibbs obtemos:

$$\delta \langle \hat{B} \rangle = i \int_{t_0}^t dt' T_N \left\{ \frac{\delta}{2} [H_{\text{ext},\text{H}}(t'), \hat{B}_{\text{H}}(t)] \right\}$$

que é a generalização para temperatura finita do resultado a  $T=0$ .

Se:

$$H_{\text{ext}} = \int d\vec{x} \hat{A}(\vec{x}) \phi(\vec{x}, t)$$

$$\delta \langle \hat{B}(\vec{x}, t) \rangle = -i \int_{t_0}^t dt' \int d\vec{x}' T_N \left\{ \frac{\delta}{2} [\hat{B}_{\text{H}}(\vec{x}', t'), \hat{A}_{\text{H}}(\vec{x}', t')] \right\} \phi(\vec{x}', t')$$

onde:

$$iD_{BA}(x x') = \text{Tr} \left\{ \frac{\hat{g}}{z} [\hat{B}_n(\bar{x}+t), \hat{A}_n(\bar{x}'-t')] \right\} \Theta(t-t')$$

e onde supomos que  $\phi(\bar{x}t) = 0$  para  $t < t_0$ .

Como os operadores  $\hat{A}(\bar{x})$  e  $\hat{B}(\bar{x})$  geralmente commutam com  $\hat{N}$  podemos generalizar:

$$\hat{A}_n(\bar{x}, t) \rightarrow \hat{A}_k(\bar{x}, t) = e^{i\hat{K}t} \hat{A}_n(\bar{x}) e^{-i\hat{K}t}$$

Para o cálculo da função de correlação acima é conveniente trabalharmos com a versão de Matsubara de  $D_{BA}$ :

$$-D_{BA} = \text{Tr} \left\{ \frac{\hat{g}}{z} T_c [\hat{B}_n(\bar{x}c) \hat{A}_n(\bar{x}'c')] \right\}$$

onde obtemos:  $\hat{B}_n(\bar{x}c) = e^{\hat{K}c} \hat{B}_n(\bar{x}) e^{-\hat{K}c}$ , etc.

Obtemos,  $D_{BA}$  pode ser relacionada com  $D_{BA}$  através da representação de Lehmann. Por exemplo, para a função de correlação da densidade usada anteriormente a  $T=0$ :

$$iD_{nn}(xx') = \text{Tr} \left\{ \frac{\hat{g}}{z} [\tilde{n}_k(\bar{x}t), \tilde{n}_k(\bar{x}'t')] \right\} \Theta(t-t')$$

$$D_{nn}(xx') = \text{Tr} \left\{ \frac{\hat{g}}{z} T_c [\tilde{n}_n(\bar{x}c) \tilde{n}_n(\bar{x}'c')] \right\}$$

temos que:

$$D_{nn}(\vec{q}, \omega) = \int_{-\infty}^{+\infty} \frac{d\omega'}{2\pi} \frac{\Delta(\vec{q}, \omega')}{\omega - \omega' + i\eta}$$

$$e D_{nn}(\vec{q}, \nu_n) = \int_{-\infty}^{+\infty} \frac{d\omega'}{2\pi} \frac{\Delta(\vec{q}, \omega')}{i\nu_n - \omega'}$$

onde:

$$\Delta(\vec{q}, \omega) = \sum_{\vec{k}} \sum_{\sigma \sigma'} \left\{ e^{-\beta K_0} (2\pi)^3 \delta[\vec{q} - \vec{P}_m + \vec{P}_e] (2\pi) \delta[\omega - (K_m - K_e)] \right. \\ \left. \times (1 - e^{-\beta \omega}) |k \epsilon \vec{\mu} \vec{\mu}_m|^2 \right\}$$

A continuação analítica de  $D_{nn}$  para  $D_{nn}^R$  é então imediata.

A quantidade:

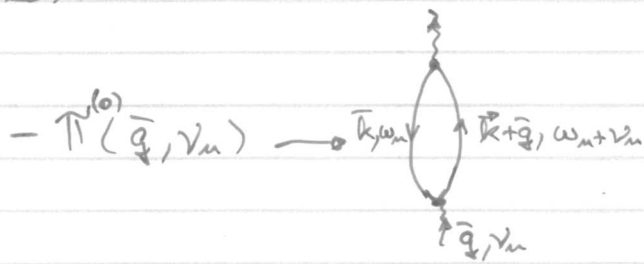
$$D_{BA}(\vec{x}z, \vec{x}'z')$$

tom uma expansão perturbativa em termos de diagramas de Feynman completamente análoga à expansão para a sua contrapartida a  $T=0$ , com as modificações simples já consideradas.

Como exemplo, consideremos o gás de elétrons uniforme a temperatura  $T$  e vamos tentar calcular a função de correlação de densidade em RPA. Obviamente

$$D_{nn}(\vec{q}, \nu_m) = \tilde{\Pi}(\vec{q}, \nu_m) = \frac{\Pi(\vec{q}, \nu_m)}{1 - V(\vec{q}) \tilde{\Pi}(\vec{q}, \nu_m)}$$

No aproximação RPA, a inserção de polarizações próprias  $\Pi(\vec{q}, \nu_m)$  é aproximada pela "bolha" simples:



Note que  $\nu_m$  é fermiônica (ímpar) e  $\nu_m$  é bosonica (par)

$$-\tilde{\Pi}^{(0)}(\vec{q}, \nu_n) = -2T \sum_{\omega_n} \int \frac{d^3 k}{(2\pi)^3} G^{(0)}(\vec{k}, \omega_n) G^{(0)}(\vec{k} + \vec{q}, \omega_n + \nu_n)$$

$$\tilde{\Pi}^{(0)}(\vec{q}, \nu_n) = 2T \sum_{\omega_n} \int \frac{d^3 k}{(2\pi)^3} \frac{1}{i\omega_n - \epsilon_{\vec{k}}} \frac{1}{i\omega_n + i\nu_n - \epsilon_{\vec{k} + \vec{q}}}$$

Onde  $\epsilon_{\vec{k}} = \frac{\vec{k}^2}{2m} - \mu$

$$T \sum_{\omega_n} \left[ \frac{1}{i\omega_n - \epsilon_{\vec{k}}} \times \frac{1}{i\omega_n + i\nu_n - \epsilon_{\vec{k} + \vec{q}}} \right] = T \sum_{\omega_n} \left( \frac{1}{i\nu_n - \epsilon_{\vec{k} + \vec{q}} + \epsilon_{\vec{k}}} \right) \times$$

$$\times \left[ \frac{e^{i\omega_n n}}{i\omega_n - \epsilon_{\vec{k}}} - \frac{e^{i\omega_n n}}{i\omega_n + i\nu_n - \epsilon_{\vec{k} + \vec{q}}} \right]$$

Note que a soma original converge absolutamente ( $\rightarrow \frac{1}{\omega_n^2}$ )

e não necessita (não tem) o fator de convergência  $e^{i\omega_n n}$ .

Este ponto, entretanto, se introduzido redundanteamente e é então essencial para a convergência individual das frações parciais que aparecem no lado direito da equação acima. As somas agora são calculadas usando-se o tópico já explicado anteriormente.

$$T \sum_{\omega_n} \frac{e^{i\omega_n n}}{i\omega_n - \epsilon_{\vec{k}}} = f(\epsilon_{\vec{k}})$$

$$T \sum_{\omega_n} \frac{e^{i\omega_n n}}{i\omega_n + i\nu_n - \epsilon_{\vec{k} + \vec{q}}} = f(\epsilon_{\vec{k} + \vec{q}} - i\nu_n) = f(\epsilon_{\vec{k} + \vec{q}})$$

onde usamos que  $e^{i\beta n} = 1$  porque  $\nu_n = 2\pi T$ .

Obtemos finalmente:

$$\boxed{\Pi^{(0)}(\bar{q}, \nu_m) = -2 \int \frac{d^3 k}{(2\pi)^3} \frac{f(\epsilon_{\bar{k}+\bar{q}}) - f(\epsilon_{\bar{k}})}{i\nu_m - [\epsilon_{\bar{k}+\bar{q}} - \epsilon_{\bar{k}}]}}$$

que é a generalização desejada para  $\Pi^{(0)}$  a temperatura finita.

É óbvio que a função de correlação retardada correspondente é facilmente obtida, continuando-se analiticamente o resultado acima para

$$i\nu_m \rightarrow \omega + i\eta$$

$$D_{\bar{n}\bar{n}}^R(\bar{q}, \omega) = \frac{\Pi^{(0)R}(\bar{q}, \omega)}{1 - V(\bar{q}) \Pi^{(0)R}(\bar{q}, \omega)}$$

$$\Pi^{(0)R}(\bar{q}, \omega) = -2 \int \frac{d^3 k}{(2\pi)^3} \frac{f(\epsilon_{\bar{k}+\bar{q}}) - f(\epsilon_{\bar{k}})}{\omega - [\epsilon_{\bar{k}+\bar{q}} - \epsilon_{\bar{k}}] + i\eta}$$

(\*) NOTA IMPORTANTE: A continuação analítica de  $i\nu_m \rightarrow \omega + i\delta$  só deve ser feita ao final do cálculo, depois que todas as somas sobre freqüências de Matsubara internas já teriam sido feitas. Da discussão acima, fica claro que, se tivessemos feito  $i\nu_m \rightarrow \omega + i\delta$  antes do final, teríamos encontrado:

$$f(\epsilon_{\bar{k}+\bar{q}} - \omega - i\delta) \neq f(\epsilon_{\bar{k}+\bar{q}})$$